

лунок аппроксимировали кругом или прямоугольником. Профиль глубины лунок усредняли и почти во всех измерениях для нахождения объема эрозионной лунки площадь ее поверхности умножали на среднее значение глубины лунки. Интенсивность эрозии медных электродов в сверхзвуковом импульсном канале в интервале токов 10—30 А составляла от 20 до 40 мг · Кл⁻¹, что согласуется с данными [4, 6].

ЛИТЕРАТУРА

1. Велихов Е. П., Волков Ю. М. Перспективы развития импульсной МГД-энергетики и ее применение в геологии и геофизике.— М., 1981.— (Препр./ИАЭ; № 3436/6).
2. Мусаев М. Г., Чекалин Э. К., Черных Л. В. Свойства контрагированного разряда в неоднородном пограничном слое на электроде в высокоскоростном потоке плазмы // ПМТФ.— 1988.— № 3.
3. Зыкова Н. М., Куракина Т. С. Исследование разряда на медных охлаждаемых электродах в плазме продуктов сгорания // ТВТ.— 1976.— Т. 14, № 5.
4. Залкинд В. И., Кириллов В. В., Маркина А. П. Катодные пятна и эрозия металлических электродов в канале МГД-генератора открытого цикла // ТВТ.— 1982.— Т. 20, № 6.
5. Мусаев М. Г., Тищенко В. А., Чекалин Э. И., Юревич Т. В. Исследование режима нестационарных катодных пятен на электродах в импульсном сверхзвуковом потоке плазмы // Инженерные проблемы термоядерных электростанций.— М.: ЭНИН, 1981.
6. Богдонас А. В., Башилов В. А., Грибков В. М. и др. Изучение процессов на холодных электродах в канале МГД-генератора // Первый советско-американский коллоквиум по МГД-преобразованию энергии.— М.: Ин-т высоких температур АН СССР, 1974.

г. Москва

Поступила 27/VI 1990 г.,
в окончательном варианте —
20/IV 1992 г.

УДК 531.1 : 530.182

А. П. Алдушин

ТЕПЛОВОЙ ПРОБОЙ НИТИ НАКАЛИВАНИЯ

Хорошо известный из практики эффект внезапного перегорания элементов электрической цепи относится к широкому классу критических явлений, изучаемых макроскопической кинетикой [1]. Существование электрических аналогов химического взрыва впервые отмечено Н. Н. Семеновым на примере теплового пробоя диэлектриков [2]. В отличие от диэлектриков проводник с током, рассматриваемый как сосредоточенный объект энерговыделения, не обладает свойством взрывной неустойчивости. Эффект взрывной неустойчивости возникает, если учесть распределенность системы и связанную с этим возможность пространственного возмущения характеристик. В свете этого пробоя можно трактовать как локальное испарение проводника вследствие спонтанного обострения температурной неоднородности.

1. Рассматривается теплоизолированная с торцов нить сопротивления, на концах которой поддерживается постоянное напряжение U . В химически инертной среде уравнение теплового баланса нити имеет вид

$$(1.1) \quad c \frac{\partial T}{\partial t} = \frac{U^2 \rho}{r^4 \left[\int_0^l \rho r^{-2} dx \right]^2} - \frac{2\alpha}{r} (T - T_0) - \frac{2\sigma}{r} T^4 + \frac{1}{r^2} \frac{\partial}{\partial x} \left(r^2 \lambda \frac{\partial T}{\partial x} \right),$$

где x — продольная координата; T , T_0 — температура нити и окружающей среды; c — теплоемкость единицы объема; r — радиус; l — длина

нити; $\rho(T)$ — удельное сопротивление; λ — теплопроводность; α — коэффициент теплообмена; σ — константа излучения.

После включения источника тока температура нити быстро растет и достигает значения T_s , которое остается стационарным, если пренебречь медленным процессом испарения нити. Величина T_s определяется из уравнения

$$(1.2) \quad \frac{U^2}{\rho(T_s) l^2} = \frac{2\alpha}{r} (T_s - T_0) + \frac{2\sigma}{r} T_s^4.$$

Для анализа устойчивости однородного стационарного решения проследим эволюцию малых возмущений температуры нити. Нестационарное решение $T(x, t)$ ищем в виде суммы

$$T(x, t) = T_s + \theta(t)f(x).$$

Подстановка $T(x, t)$ в (1.1) после линеаризации всех членов приводит к уравнению

$$(1.3) \quad c \frac{\partial \theta}{\partial t} f(x) = \frac{U^2}{\rho_s l^2} R_T \theta f(x) - \frac{2U^2}{\rho_s l^3} R_T \theta \int_0^l f(x) dx - \frac{2\alpha}{r} \theta f(x) - \frac{8\sigma}{r} T_s^3 \theta f(x) + \lambda \theta f''_{xx}(x) \\ (\rho_s = \rho(T_s), \quad R_T = (\partial \ln \rho / \partial T)_{T_s}).$$

Для однородных возмущений ($f=1$) уравнение (1.3) представим в форме

$$(1.4) \quad c \frac{\partial \theta}{\partial t} = -\theta \left[\frac{U^2}{\rho_s l^2} R_T + \frac{2\alpha}{r} + \frac{8\sigma}{r} T_s^3 \right].$$

Решениями (1.4) являются затухающие со временем экспоненты, т. е. высокотемпературное состояние нити накаливания, рассматриваемой как однородный объект, устойчиво.

В случае пространственных возмущений

$$f(x) = \cos(\pi n x / l)$$

уравнение для амплитуды $\theta(t)$ принимает вид

$$(1.5) \quad c \frac{\partial \theta}{\partial t} = A \theta, \quad A = \frac{U^2 R_T}{\rho_s l^2} - \frac{2\alpha}{r} - \frac{8\sigma T_s^3}{r} - \frac{\pi^2 n^2 \lambda}{l^2}.$$

При $A > 0$ амплитуда возмущений экспоненциально возрастает:

$$\theta = \theta_0 \exp(\Omega t), \quad \Omega = A/c.$$

Наиболее опасна первая мода ($n=1$), коротковолновые возмущения затухают вследствие стабилизирующего действия теплопроводности. Физическая причина неустойчивости, как видно из (1.5), заключается в температурном росте удельного сопротивления нити, что в условиях фиксированного напряжения U может приводить к прогрессивной локализации энерговыделения.

Критические значения характеристик, отвечающие срыву стационарного однородного решения, определяются условием $A=0$, которое нужно рассматривать совместно с (1.2). При не слишком высоких температурах T_s можно пренебречь лучистыми потерями, а для достаточно длинной нити ($l \gg \sqrt{\pi^2 r \lambda / 2\alpha}$) — и теплопроводным членом. В этом случае выражения для критических значений температуры нити T_* , напряжения U_* и плотности тока j_* запишем как

$$(1.6) \quad T_* = T_0 + R_T^{-1}, \quad U_*^2 = 2\rho(T_*) l^2 \alpha / r R_T, \quad j_*^2 = 2\alpha / r \rho R_T.$$

Величина R_T определяется температурной зависимостью электросопротивления. В общем случае температурный коэффициент R_T не является

константой, а меняется с температурой. Поэтому первое из выражений (1.6) следует рассматривать как уравнение относительно критической температуры T_* , решение его существует лишь при достаточно быстром (быстрее линейного) темпе роста $\rho(T)$. При более слабых зависимостях стационарное однородное состояние проводника с током абсолютно устойчиво. Учет излучения усиливает требования к росту $\rho(T)$ для получения эффекта срыва. У большинства металлов зависимость $\rho(T)$, достаточно слабая в широком интервале температур, резко обостряется при стремлении T к температуре плавления. Типичные примеры — медь, серебро [3]. В этом случае срыв стационарного режима и перегорание нити происходят вблизи температуры плавления металла. Существенно более низкие значения T_* могут иметь полупроводниковые терморезисторы с положительным температурным коэффициентом, а также некоторые металлы. На рис. 1 приведена зависимость температурного коэффициента R_T для никеля [3]. Пересечение R_T с кривой $(T-293)^{-1}$ в соответствии с (1.6) определяет максимальную температуру устойчивого однородного стационарного состояния $T_* = 428$ К при $T_0 = 293$ К.

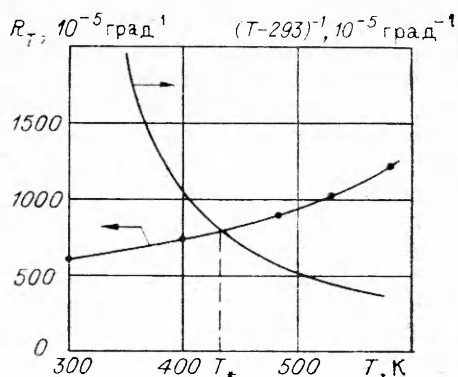


Рис. 1

Попытки разогреть никелевую нить до температуры $T_s > T_*$ должны приводить к разрушению однородного температурного распределения и автолокализации джоулева энерговыделения в окрестности максимального значения температуры.

Критическая температура T_* однозначно определяется характеристиками материала R_T лишь для длинной и тонкой нити ($l \gg \sqrt{\pi^2 r \lambda / 2 \alpha}$). С уменьшением l температура T_* увеличивается вследствие стабилизирующей роли теплопроводности, подавляющей температурные неоднородности. Достаточно короткий проводник ($l \ll \sqrt{\pi^2 r \lambda / 2 \alpha}$) можно рассматривать как сосредоточенный объект энерговыделения, устойчивый к возмущениям температуры. Отметим, что если два или более таких сопротивления соединить в последовательную цепь со слабым тепловым контактом, то, как нетрудно показать, система теряет устойчивость при разогреве: $T_s - T_0 > R_T^{-1}$.

2. При малых значениях R_T однородное высокотемпературное состояние устойчиво ($T_* > T_s$) и время жизни нити накаливания определяется процессом испарения. С учетом испарения тепловой баланс (1.1) следует дополнить кинетическим уравнением

$$(2.1) \quad \partial r / \partial t = -w(T), \quad w = k_0 \exp(-E/RT),$$

где w — скорость испарения; k_0 — предэкспонент; E — энергия активации; R — газовая постоянная. Потери тепла на испарение в (1.1) можно не учитывать, поскольку даже при высоких T скорость w реально мала и соответствующие энергозатраты пренебрежимы по сравнению с потребляемой электрической мощностью. Поскольку отношение времени тепловой релаксации к характерному времени испарения нити мало, процесс испарения можно рассматривать как квазистационарный. Квазистационарные значения радиуса нити $r_s(t)$ и температуры $T_s(r_s)$ связаны уравнением (1.2). С учетом зависимости коэффициента теплообмена от радиуса ($\alpha = \lambda_1 / r$, $\lambda_1 = \text{Nu} \lambda_r / 2$, λ_r — теплопроводность окружающей среды, Nu — число Нуссельта) эта связь определяется выражением

$$(2.2) \quad r_s = \frac{\sigma T_s^4}{U^2 / \rho l^2} \left[1 + \sqrt{1 + \frac{2U^2 \lambda_1 (T_s - T_0)}{\rho l^2 (\sigma T_s^4)^2}} \right].$$

Динамика изменения $r_s(t)$, а вместе с ним и $T_s(t)$ определяется кинетикой испарения (2.1). Уменьшение толщины нити приводит к снижению ее температуры (зависимостью $\rho(T)$ для рассматриваемых малых значений R_r можно пренебречь). По мере падения T_s скорость испарения уменьшается, причем торможение w при больших значениях E , характерных для реальных систем, осуществляется весьма интенсивно. С приближением T_s к T_0 скорость w падает практически до нуля, поэтому в реальном масштабе времени процесс испарения будет продолжаться неограниченно долго.

Описанный сценарий испарения может не осуществиться вследствие неустойчивости квазистационарного решения относительно малых возмущений. Нестационарное распределение температуры, отвечающее возмущенному решению, будем искать в виде квазистационарной составляющей и малой добавки, зависящей от времени и координаты:

$$(2.3) \quad T(x, t) = T_s(t) + \theta(t)f(x).$$

Соответствующее вариации δT возмущение радиуса находится из уравнения (2.1):

$$(2.4) \quad r = r_s(t) - F(t)f(x), \quad F(t) = \int_0^l (\partial w / \partial T)_{T_s} \theta(t) dt.$$

Подставляя (2.2)–(2.4) в (1.1) и сохраняя лишь члены первого порядка малости, получим уравнение, определяющее эволюцию возмущений квазистационарного решения:

$$(2.5) \quad cf(x) \frac{\partial \theta}{\partial t} = \frac{4U^2 F(t)}{l^3 r_s} \left(lf(x) - \int_0^l f(x) dx \right) - \frac{4\lambda_1 (T_s - T_0)}{l_s^3} F(t) f(x) - \\ - \frac{2\lambda_1}{r_s^2} \theta(t) f(x) - \frac{8\sigma T_s^3}{r_s} \theta(t) f(x) - \frac{2\sigma T_s^4}{r_s^2} F(t) f(x) + \lambda \theta(t) \frac{\partial^2 f}{\partial x^2}.$$

При $f(x) = 1$ все члены правой части отрицательны, т. е. однородные возмущения со временем затухают. В случае гармонических возмущений

$$f(x) = \cos(\pi n x / l)$$

уравнение (2.5) для амплитуды $\theta(t)$ принимает вид

$$(2.6) \quad c \frac{\partial \theta}{\partial t} = \frac{2}{r_s} \left(\frac{U^2}{\rho l^2} + \frac{\sigma T_s^4}{r_s} \right) F(t) - \theta \left[\frac{2\lambda_1}{r_s^2} + \frac{8\sigma T_s^3}{r_s} + \frac{\pi^2 n^2 \lambda}{l^2} \right].$$

Квазистационарная температура T_s является однозначной функцией времени

$$\frac{dT_s}{dt} = -w(T_s) \left(\frac{dr_s}{dT_s} \right)^{-1}$$

и может использоваться как независимая переменная вместо t . В связи с резкой нелинейной зависимостью $w(T_s)$ в качестве новой переменной целесообразно выбрать безразмерную температуру τ , измеряемую в характеристических интервалах RT_H^2/E :

$$\tau = (T_s - T_H) E / RT_H^2, \quad T_H = T_s(r_H).$$

Температура отсчета T_H отвечает начальному радиусу нити r_H . Уравнение (2.6) принимает вид

$$(2.7) \quad cw(T_H) \frac{E}{RT_H^2 r_s'} \exp(\tau/4 + \beta\tau) \frac{d\theta}{d\tau} = \frac{2}{r_s} \left(\frac{U^2}{\rho l^2} + \frac{\sigma T_s^4}{r_s} \right) \int_0^\tau \left(\frac{T_H}{T_s} \right)^2 r_s' \theta(\tau) d\tau + \\ + \theta \left[\frac{2\lambda_1}{r_s^2} + \frac{8\sigma T_s^3}{r_s} + \frac{\pi^2 n^2 \lambda}{l^2} \right], \quad r_s' = \frac{dr_s}{dT_s}, \quad T_s = T_H(1 + \beta\tau), \quad \beta = RT_H/E.$$

Энергия активации процесса испарения металлов составляет сотни килоджоулей на моль, поэтому параметр β мал. Например, для вольфрама при $T_H = 2 \cdot 10^3$ К $\beta \sim 2 \cdot 10^{-2}$. Учитывая малые значения β , в уравнении (2.7) можно пренебречь изменениями всех величин порядка β . Аналогичный прием, включая способ выбора безразмерной температуры, эффективно используется в теории теплового взрыва [4]. В приближении малых β ($T_s(\tau) \sim T_H$, $r_s(\tau) \sim r_H$) уравнение (2.7) представим как

$$(2.8) \quad \varepsilon \exp(\tau) \frac{d\theta}{d\tau} = \varphi \int_0^\tau \theta d\tau + \delta\theta,$$

$$\varepsilon = cw(T_H) \frac{E}{RT_H^2} \frac{r_H^2}{2\lambda_1 r_H'}, \quad \varphi = \frac{r_H'}{r_H} (T_H - T_0) \left[1 + \frac{3\sigma T_H^4 r_H}{\lambda_1 (T_H - T_0)} \right],$$

$$\delta = 1 + \frac{4\sigma T_H^3 r_H}{\lambda_1} + \frac{\pi^2 n^2 \lambda r_H^2}{2\lambda_1 l^2}, \quad r_H' = (dr_s/dT_s)_{T_H}.$$

Параметры φ и δ (порядка единицы) характеризуют вклад отдельных видов теплообмена в тепловой баланс нити. Значение параметра ε определяется произведением трех величин:

$$\varepsilon = \left(\frac{t_p}{t_H} \right) \left(\frac{r_H}{T_H} \frac{1}{r_H'} \right) \beta^{-1}, \quad t_p = \frac{cr_H^2}{2\lambda_1}, \quad t_H = \frac{r_H}{w(T_H)}.$$

Первый из сомножителей — отношение времени тепловой релаксации нити t_p к времени ее полного изотермического испарения t_H — является мерой квазистационарности процесса. В реальных ситуациях это отношение очень мало (например, время жизни вольфрамовой нити накалавания составляет тысячи часов при времени тепловой релаксации порядка секунды), поэтому, несмотря на большой множитель β^{-1} , значение ε близко к нулю.

Данное обстоятельство можно использовать для построения приближенного решения задачи. Пренебрегая членом уравнения (2.8), пропорциональным ε , получим

$$\theta_1 = a_1 \exp(-\varphi\tau/\delta).$$

Это решение справедливо во всем интервале изменения τ , за исключением узкого пограничного слоя вблизи $\tau = 0$, где производная $\theta'_\tau \sim \varepsilon^{-1}$. Внутри пограничного слоя можно пренебречь интегральным членом уравнения (2.8), пропорциональным ширине интервала $\Delta\tau \sim \varepsilon$:

$$\theta_2 = a_2 \exp[\delta\varepsilon^{-1}(1 - \exp(-\tau))].$$

Полное решение (2.8) представим в виде суммы θ_1 и θ_2 :

$$(2.9) \quad \theta = a_1 \exp[-\varphi\tau/\delta] + a_2 \exp[\delta\varepsilon^{-1}(1 - \exp(-\tau))].$$

Уравнение (2.8) линейно по θ , поэтому можно рассматривать не абсолютное, а относительное изменение θ , нормированное на начальное значение амплитуды возмущения. В этом случае

$$\theta(0) = 1, \quad a_2 = 1 - a_1.$$

Подставляя (2.9) в (2.8) и пренебрегая младшими членами получающегося асимптотического ($\varepsilon \rightarrow 0$) выражения, имеем

$$a_1 = \varphi\varepsilon/\delta^2.$$

Численное решение уравнения (2.8) хорошо соответствует приближенному при малых значениях ε . Характер зависимости $\theta(\tau)$ показан на рис. 2. Расчет проводился при $\varepsilon = 10^{-1} \div 10^{-3}$, $\varphi = 1$, $\delta = 1$ (в масштабе рисунка приближенное и точное решения не различаются). На начальном этапе амплитуда возмущений быстро убывает вследствие совместного действия теплоотдачи и теплопроводности, однако в дальнейшем начи-

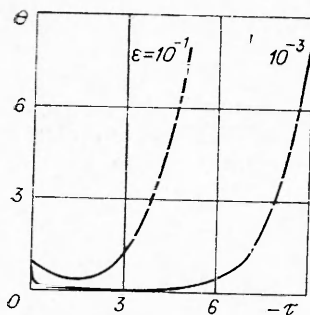


Рис. 2

нает проявляться дестабилизирующая роль интегрального возмущения мощности энерговыделения, в результате чего амплитуда θ неограниченно возрастает.

Момент восстановления первоначального значения θ можно принять за период индукции, определяющий время жизни нити t_* . Средняя температура нити за время индукции понижается на τ_* характеристических интервалов RT_n^2/E . Полагая в (2.9) $\theta = 1$ и пренебрегая вследствие малости ϵ вторым слагаемым в правой части, получим

$$\tau_* = \delta \varphi^{-1} \ln(\delta^2/\varphi \epsilon), \quad T_* = T_n(1 - \beta \tau_*).$$

При значениях φ, δ порядка единицы, что соответствует длинной тонкой нити, уменьшение средней температуры и толщины нити, предшествующее обострению локальных неоднородностей, относительно невелико даже при малых ϵ . С уменьшением длины l (ростом δ) выгорание нити и падение температуры T_s за период индукции увеличиваются.

Время индукции рассчитывается по температуре T_* из кинетического уравнения (2.1):

$$t_* = - \int_{T_n}^{T_*} (r'_s/w) dT_s, \quad r'_s = dr_s/dT_s.$$

Асимптотическое вычисление интеграла в приближении малых β дает

$$t_* = t_n r'_n (T_n/r_n) \beta (\delta^2/\varphi \epsilon)^{\delta/\varphi}, \quad t_n = r_n/w(T_n).$$

Период индукции t_* быстрее сокращается с ростом температуры T_n , чем время изотермического испарения t_n :

$$t_* \sim t_n^{1+\delta\varphi^{-1}} \sim \exp[E(1 + \delta\varphi^{-1})/RT_n].$$

Эффективная энергия активации процесса испарения $E_* = E(1 + \delta\varphi^{-1})$ зависит от длины нити, определяющей значение δ . При фиксированной температуре T_n время жизни нити быстро увеличивается с уменьшением ее длины. Этот эффект связан с действием теплопроводности, подавляющей рост температурных неоднородностей на короткой нити.

В заключение отметим, что проведенный расчет выполнен в пренебрежении термоэлектрическим эффектом Томсона. Для оценки диапазона параметров, допускающих это приближение, рассмотрим отношение величин $Q_\lambda = \lambda d^2T/dx^2$ и $Q_s = sjdT/dx$, определяющих мощности диссипативного и томсоновского источников в уравнении теплового баланса нити (s — коэффициент Томсона, $j = U/\rho l$ — плотность тока). Полагая $Q_\lambda \sim \lambda \Delta T/l^2$, $Q_s \sim sU\Delta T/l^2\rho$, получим $Q_s/Q_\lambda \sim U(s/\rho\lambda)$. Величина $s/\rho\lambda$ для проводников не превышает значения $5 \cdot 10^{-5} \text{ В}^{-1}$, поэтому при напряжении U вплоть до уровня в несколько киловольт отношение Q_s/Q_λ является пренебрежимо малым.

Экспериментальным свидетельством отсутствия влияния термоэлектрического эффекта Томсона может служить совпадение критических характеристик (T_*, i_*, U_*, t_*) для постоянного и переменного тока.

Автор благодарит Э. Н. Руманова за обсуждение работы.

ЛИТЕРАТУРА

1. Мержанов А. Г., Руманов Э. Н. Нелинейные эффекты в макроскопической кипятике // УФН.— 1987.— Т. 151, № 4.
2. Семенов Н. Н. К теории процессов горения // Журн. Рус. физ.-хим. о-ва. Часть физ.— 1928.— Т. 60, № 3.

3. Таблицы физических величин/Под ред. И. К. Кикоина.— М.: Атомиздат, 1976.
 4. Франк-Каменецкий Д. А. Диффузия и теплопередача в химической кинетике.— М.: Наука, 1967.

г. Черноголовка

Поступила 11/XII 1990 г.,
 в окончательном варианте —
 24/IV 1992 г.

УДК 533.6.01

А. Н. Богданов, В. А. Куликовский

ОБТЕКАНИЕ ТОНКОГО ТЕЛА ВРАЩЕНИЯ ПОД МАЛЫМ УГЛОМ АТАКИ СТАЦИОНАРНЫМ СВЕРХЗВУКОВЫМ ПОТОКОМ КОЛЕБАТЕЛЬНО-ВОЗБУЖДЕННОГО ГАЗА

Обтекание тела под углом атаки представляет интерес в связи с проблемой устойчивости движения тела в газовой среде. Для обычной газовой динамики решение этой задачи в приближении тонкого тела при малом угле атаки изложено в [1]. Переменность параметров обтекающего тела потока, вызванная, например, неравновесными процессами в газе, может оказать существенное влияние на аэродинамические характеристики тела.

В настоящей работе рассмотрена задача об обтекании тонкого тела вращения колебательно-возбужденным газом под малым углом атаки. Полученное решение позволяет рассчитать поперечную силу, действующую на тело, и момент этой силы относительно носика тела. Оказывается, что релаксация колебательного возбуждения приводит к изменению величины, а при достаточной начальной перекосности и знака поперечной силы. Поперечная сила действует и на остроконечное (без кормового среза) тело, тогда как в обычной газовой динамике линейная теория дает нулевое значение поперечной силы [1].

Для исследования этой задачи ось симметрии тела вращения удобно совместить с осью x , а не возмущенный телом стационарный сверхзвуковой поток направить под углом к этой оси. Течение в таком случае не обладает осевой симметрией и существенно зависит от третьей цилиндрической координаты — угла θ . Примем, что точка $x=0$ совпадает с носиком тела.

Система уравнений, описывающая стационарное неосесимметричное течение газа в цилиндрических координатах, имеет вид

$$\begin{aligned}
 (1) \quad (\rho u)_x + (\rho v)_y + (\rho w)_\theta &= 0, \quad M_0^2 \rho \left(u u_x + v u_y + \frac{1}{y} w u_\theta \right) + p_x = 0, \\
 M_0^2 \rho \left(u v_x + v v_y + \frac{1}{y} w v_\theta - \frac{w^2}{y} \right) + p_y &= 0, \\
 M_0^2 \rho \left(u w_x + v w_y + \frac{1}{y} w w_\theta + \frac{v w}{y} \right) + \frac{1}{y} p_\theta &= 0, \\
 u p_x + v p_y + \frac{1}{y} w p_\theta - a^2 \left(u \rho_x + v \rho_y + \frac{1}{y} w \rho_\theta \right) &= \\
 = -\rho (\gamma - 1) \left(u e_{rx} + v e_{ry} + \frac{1}{y} w e_{r\theta} \right), & \\
 u e_{rx} + v e_{ry} + \frac{1}{y} w e_{r\theta} = \omega (e_r^* - e_r). &
 \end{aligned}$$

Здесь u, v, w — компоненты скорости газа по осям x, y и θ соответственно, обезразмеренные на начальное (при $x=0$) значение скорости невоз-